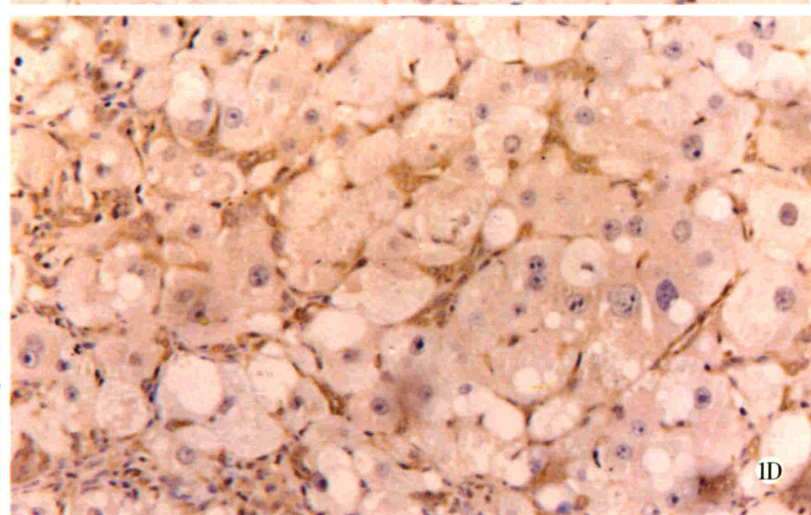
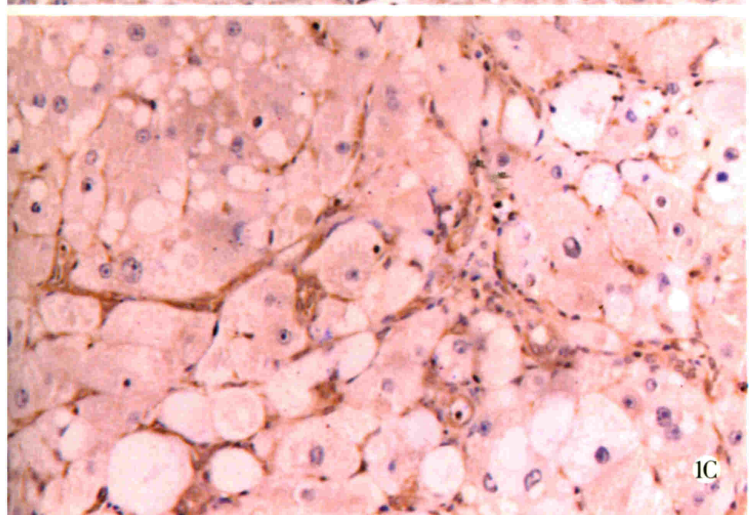
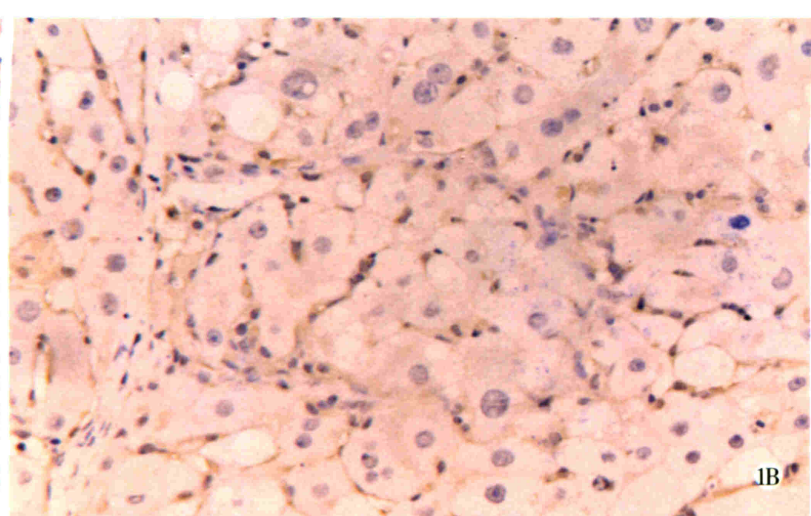
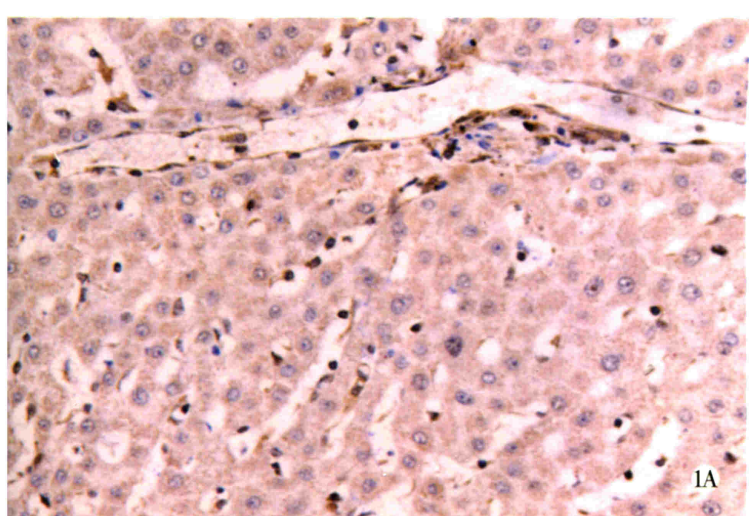


世界华人消化杂志®

**WORLD CHINESE
JOURNAL OF DIGESTOLOGY**

Shijie Huaren Xiaohua Zazhi

2003 年 6 月 15 日 第 11 卷 第 6 期 (Volume 11 Number 6)



6/2003

ISSN 1009-3079



名誉总编辑
潘伯荣
总编辑
马连生

World Journal of Gastroenterology® 被 SCI®-E, Research Alert®,
Current Contents®/Clinical Medicine, Journal Citation Reports®
Index Medicus, MEDLINE, Chemical Abstracts, EMBASE/
Excerpta Medica 收录. 2001 年 JCR® 报告 WJG 影响因子
1.445. 世界华人消化杂志® 被 Chemical Abstracts, EMBASE/
Excerpta Medica 收录. 2001 年中国科技期刊引证报告:
世界华人消化杂志® 影响因子 3.733, WJG 影响因子 2.920.

世界华人消化杂志

Shijie Huaren Xiaohua Zazhi

● 目 次 ●

2003 年 6 月 15 日 第 11 卷 第 6 期 (总第 110 期)

述 评	689 肝脏胶原蛋白检测进展与评析 刘成海
病毒性肝炎	693 甲型肝炎减毒活疫苗(LA-1 株)大规模免疫长期效果观察 龚健,李荣成,徐志一,江世平,罗东,杨进业,李艳萍,陈修荣,黄贵彪,凌文武,韦光武,汪莹怡 697 HCV-Fc 融合基因疫苗真核表达载体的构建及表达 冯志华,王全楚,周永兴,郝春秋,聂青和 701 胸腺肽 $\alpha 1$ 对慢性乙型肝炎患者免疫系统的影响 段国荣,聂青和,周永兴,王全楚,田长印,刘拉羊,薛红安 705 蛋白激酶 C 对肾小球前小动脉平滑肌细胞 I 型 IP_3 受体表达影响 王静艳,刘沛,韩峰
肝 癌	708 抗肝癌单链免疫毒素基因修饰的 PBMCs 在动物体内的抑瘤作用 程虹,刘彦仿,张惠中,沈万安,张菊,张静 712 经皮穿刺氩氦刀冷冻治疗肝癌 31 例 钱国军,陈汉,吴孟超 716 大鼠肝细胞癌形成过程中 MMP-2mRNA 的表达及应用 BB-94 的影响 张志,方石岗,高毅,蒋泽生,孙尔维
基础 研究	719 西安酒精性肝病流行病学 鲁晓岚,陶明,罗金燕,耿燕,赵平,赵红莉 723 蛋白激酶 C 在肝细胞缺氧预处理中的作用 单毓强,高毅,王瑜,潘明新 726 肝硬化不同病期 ET-1,NO 对离体肝脏血流动力学的调节作用 姚冬梅,姚希贤,杨川杰,冯志杰,房红梅,高军萍 730 大鼠肝纤维化中细胞外信号调节激酶的作用 梁增文,张国,王天才 733 环氧合酶-2 反义核酸对人胆管癌细胞增生的影响 吴高松,武小勇,邹声泉,裘法祖 737 ONO-3403 对胆囊收缩素刺激的大鼠胰腺外分泌的影响 陈少夫,刘维新,山本光胜,大槻真 741 内皮抑素-可溶性血管内皮细胞生长抑制因子融合基因重组腺病毒的包装与鉴定 李喆,潘欣,潘卫,曹贵松,闻兆章,方国恩,戚中田,毕建成,华积德 745 激活素 A 对肝星状细胞细胞外基质合成的影响 刘清华,李定国,黄新,尤汉宁,潘勤,徐雷鸣,徐芹芳,陆汉明 749 脾静脉结扎诱导继发性脾功能亢进犬动物模型的评价 刘全达,马宽生,何振平,丁钧,董家鸿 753 IL-6 与整合素家族细胞黏附分子在大鼠急性坏死性胰腺炎合并多器官损伤模型中的表达 孙威,张俊东,赵滢,赵宇,王强
临床 研究	756 老年消化道多原发癌的早期诊断及综合治疗 蔡昌豪,吴本伊,吴道宏,邵勇,王孟薇
焦 点 论 坛	760 进一步深化慢性乙型肝炎诊断治疗的实用性研究 李梦东,聂青和 762 慢性乙型肝炎临床分度、诊断的一些问题 周永兴 766 慢性乙型肝炎的鉴别诊断及常见并发症 聂青和 768 特殊人群乙型肝炎的临床特点及处理 罗新栋,聂青和 772 病理学检测在慢性乙型肝炎诊断治疗中的价值 郎振为 775 经皮肝脏活体穿刺活检技巧及研究进展 滕光菊,聂青和 776 乙型肝炎的实验检查及其临床意义 郝春秋,聂青和 780 慢性乙型肝炎的抗病毒治疗 程明亮,吴亚云 783 慢性乙型肝炎的免疫治疗 施光峰 785 慢性乙型肝炎的中医药治疗 申德林,王全楚,焦栓林 787 乙型肝炎病毒携带者的诊断与治疗 江家骥,朱琪 789 慢性乙型肝炎肝纤维化的诊断与治疗 蔡卫民,张彬彬 791 乙型肝炎病毒慢性感染和肝癌发生 苏勤 795 治疗性疫苗-慢性乙型肝炎患者的希望 王全楚,聂青和
文 献 综 述	799 抗乙型肝炎病毒肝靶向药物制剂的研究进展 王九平,白雪帆 803 腺病毒载体的特点及其在 HCV 研究中的应用 郝春秋,冯志华,聂青和 806 HCVC 区 DNA 疫苗的研究现状 孙利,周永兴 810 病毒性肝炎基因治疗的研究和面临的挑战 贾战生,冯志华,周永兴

文献综述	815 抗 HCV 树突状细胞疫苗的制备及功能研究 王全楚,冯志华,周永兴 819 疫苗新概念及新型疫苗的研制 冯志华,王全楚 823 特殊状态下的逆行胰胆管造影检查术 智发朝 824 胃肠道出血的内镜诊治 陈村龙,宋于刚,周殿元 827 介入内镜学在胆胰疾病中的应用 刘思德 829 老年期消化性溃疡与恶性肿瘤溃疡、应激性溃疡的鉴别 吴保平,肖冰 831 老年人消化道急症 黄纯炽
研究快报	834 肠癌细胞 BAI1 基因表达的检测及其抗肿瘤作用 王志华,康熙雄,张智清,申宝忠,李莹 836 三氧化二砷对鸡胚移植胆管癌生长的抑制作用 喻智勇,王曙光,郑秀海,李昆 838 小鼠实验性肝损伤中 NO 的动态检测及意义 陈会松,柳利明,黄华,杨晋辉
临床经验	841 结肠黑变病 25 例 孙军,李岩 842 保留胰腺的脾动脉干及脾切除术在胃癌根治术中的意义 陈志新,胡建昆,张波,陈佳平,周总光 844 萎缩性胃炎临床证型分类研究 朱方石,姒健敏,王良静 846 叶酸对胃癌前细胞凋亡的影响 曹大中,刘顺英,赵建学 848 短肠综合征的远期并发症 4 例 周伟,江志伟,姜军,朱维铭,张佃良,李宁,黎介寿 851 幽门螺杆菌感染与慢性肝病的临床关系 焦建中,聂青和,赵春林,吴永胜,文绍先,吴群 853 内支架术与腔内近距离放射治疗联合应用治疗晚期食管癌 8 例 申宝忠,于友涛 855 组织黏合剂 Histoacryl 治疗胃静脉曲张活动性出血的疗效 曾黎明,陈村龙,智发朝 856 肝病患者血清肿瘤坏死因子 α 水平变化 徐学刚,张美稀,董惠芳,杨协珍,金树根,陈建杰,王灵台 859 尼美舒利引起肝脏损害 14 例 关英,徐峰,胡莲,周甘平 861 脾脏体积、脾静脉血流及血细胞计数在门静脉高压症分期中的意义 王秀艳,游晓功,施宝民,穆庆岭,吴泰璜 863 大连地区糖尿病患者与健康成年人肠内菌群的比较 孙艳,刘波,赵静玫,王海岩,徐和利,李雪松 865 影像学检查对肝门部胆管癌进展范围评价的临床价值 张国梁,韦斌,朱春兰,任旭 867 分离培养在 Hp 感染诊断中的重要地位 史济经,闵海阳,王青,杨慧芳,王洪涛,张振华 870 HBV 感染者 HBV DNA 与抗原抗体标志物的关系 陈雪娟,李刚,刘淑芳,陈文思,李桂侠 871 乙型肝炎肝组织中细胞间黏附分子-1 及 Fas 的表达及意义 张闯峰,郑瑞丹,孟家榕,郭以河,林福地 873 轮状病毒全身感染对肝胆胰的影响 姚英氏,李宁,欧巧群 877 良性肝病患者血清 AFP 升高的临床意义 程天霞 875 胆源性胰腺炎手术治疗 58 例 黄建勇,马清涌,马建新 879 经皮肝穿刺胆道引流治疗外伤后胆瘘 汪邵平,霍枫,张玉新,裴世强
病例报告	840 以肠梗阻为首表现的原发性小肠肿瘤 4 例 赵永玲,魏芳
编委来信	707 711 江学良
投稿细则	附 1-4 世界华人消化杂志投稿细则
封面故事	730 大鼠肝纤维化中细胞外信号调节激酶的作用 梁增文,张国,王天才

世界华人消化杂志

Shijie Huaren Xiaohua Zazhi

吴阶平 题写封面刊名
陈可冀 题写版权刊名
(月刊)

创刊 1993-01-15
改刊 1998-01-25
出版 2003-06-15
原刊名 新消化病学杂志

总顾问 陈可冀
黄象谦
黄志强
黎介寿
刘耕陶
裘法祖
汤钊猷
王宝恩
危北海
吴孟超
吴咸中

张金哲
张学庸
赵东海
周殿元
社长总编辑 马连生
中文编辑 潘伯荣
王瑾晖
英文编辑 张建中
排版 李少华
校对 李天华

编辑 世界华人消化杂志编辑委员会
030001, 山西省太原市双塔西街 77 号
E-mail:wcjd@wjgnet.com
出版 世界胃肠病学杂志社
100023, 北京市 2345 信箱
E-mail: wcjd @ wjgnet.com
http://www.wjgnet.com
电话 (010)85381892
传真 (010)85381893
印刷 北京科信印刷厂
发行 国内 北京报刊发行局
国外 中国国际图书贸易总公司
(100044, 北京 399 信箱)
订购 全国各地邮电局
邮购 世界胃肠病学杂志社发行部
(100023, 北京市 2345 信箱)
电话:(010)85381892
传真:(010)85381893
2003 年版权归世界胃肠病学杂志社所有

本刊已被国内外 检索系统收录

美国《化学文摘(CA)》
荷兰《医学文摘库/医学文摘(EM)》
俄罗斯《文摘杂志(PJ)》
中国科技论文统计与分析
中国学术期刊文摘
中国中医药信息服务网
中国生物医学文献光盘数据库
《中文科技资料目录(医药卫生)》
中国生物医学期刊目录数据库
中国医学文摘外科学分册(英文版)
中国医学文摘内科学分册(英文版)

特别声明

本刊刊出的所有文章不代表世界胃肠病学杂志社和本刊编委会的观点,除非特别声明.本刊如有印装质量问题,请向本刊编辑部调换.

ISSN 1009-3079
CN 14-1260/R

邮发代号 82-262
国外代号 M 4481

国内定价 每期 24.00 元 全年 288.00 元

广告经营许可证
1401004000050

- Tang W, Sun GL, Yang KQ, Chen Y, Zhou L, Fang ZW, Wang YT, Ma J, Zhang P, Zhang TD, Chen SJ, Chen Z, Wang ZY. Use of arsenic trioxide (As_2O_3) in the treatment of acute promyelocytic leukemia (APL): II. Clinical efficacy and pharmacokinetics in relapsed patients. *Blood* 1997;89:3354-3360
- 3 Shen ZY, Shen WY, Chen MH, Shen J, Zeng Y. Reactive oxygen species and antioxidants in apoptosis of esophageal cancer cells induced by As_2O_3 . *Int J Mol Med* 2003;11:479-484
- 4 魏晓莹,郑杰,张东生,张建民. 三氧化二砷诱导人结肠癌 LoVo 细胞凋亡的细胞生物学研究. 临床与实验病理学杂志 2001;17:508-511
- 5 王曙光,韩本立,段恒春,陈意生,彭志明. 肝外胆管癌细胞系的建立. 中华实验外科杂志 1997;14:245-246
- 6 付生法,陆应麟,张朝山,陈堃. 检测血管生长因子作用的鸡胚绒毛尿囊膜技术. 军事医学科学院院刊 1993;17:294-297
- 7 胡建昆,陈志新,陈佳平,严律南,毛咏秋,邹立群,王朝华. 大肠癌化疗药物敏感性与癌细胞 DNA 含量的关系. 世界华人消化杂志 2001;9:713-714
- 8 中华医学会外科学会胆道外科学组. 肝外胆道癌全国调查 1098 例分析. 中华外科杂志 1990;28:516-520
- 9 石景森,周连锁,王作仁,罗建,王林,郝秀原,马庆久,李发智,汪涛,任斌,卢云,刘绍诒. 肝外胆道癌 830 例临床分析. 中华外科杂志 1997;35:645-648
- 10 Gebbia V, Majello E, Testa A, Pezzella G, Giuseppe S, Giotta F, Riccardi F, Fortunato S, Colucci G, Gebbia N. Treatment of advanced adenocarcinomas of the exocrine pancreas and the gallbladder with 5-fluorouracil, high dose levofolinic acid and oral hydroxyurea on a weekly schedule. Results of a multicenter study of the southern italy oncology group (G.O.I.M.). *Cancer* 1996;78:1300-1307
- 11 Kuhn R, Hribaschek A, Eichelmann K, Rudolph S, Fahlke J, Ridwelski K. Outpatient therapy with gemcitabine and docetaxel for gallbladder, biliary, and cholangio-carcinomas. *Invest New Drugs* 2002;20:351-356
- 12 Taieb J, Mitry E, Boige V, Artru P, Ezenfis J, Lecomte T, Clavero-Fabri MC, Vaillant JN, Rougier P, Ducreux M. Optimization of 5-fluorouracil (5-FU)/cisplatin combination chemotherapy with a new schedule of leucovorin, 5-FU and cisplatin (LV5FU2-P regimen) in patients with biliary tract carcinoma. *Ann Oncol* 2002;13:1192-1196
- 13 Okuda K, Nakanuma Y, Miyazaki M. Cholangiocarcinoma: recent progress. Part 2: molecular pathology and treatment. *J Gastroenterol Hepatol* 2002;17:1056-1063
- 14 Bellamy WT, Richter L, Frutiger Y, Grogan TM. Expression of vascular endothelial growth factor and its receptors in hematopoietic malignancies. *Cancer Res* 1999;59:728-733
- 15 Roboz GJ, Dias S, Lam G, Lane WJ, Soignet SL, Warrell RP Jr, Rafii S. Arsenic trioxide induces dose- and time-dependent apoptosis of endothelium and may exert an antileukemic effect via inhibition of angiogenesis. *Blood* 2000;96:1525-1530

ISSN 1009-3079 CN 14-1260/R 2003 年版权归世界胃肠病学杂志社

• 研究快报 •

小鼠实验性肝损伤中 NO 的动态检测及意义

陈会松,柳利明,黄 华,杨晋辉

陈会松,柳利明,黄华,杨晋辉,昆明医学院第二附属医院消化科
云南省昆明市 650101
昆医附二院科研基金资助, No.2000021
项目负责人:黄华,650101,云南省昆明市西山区麻园 1 号,昆明医学院第二附属医院消化科. hhtrq78@yahoo.com
电话:0871-5351281-2362
收稿日期:2002-12-12 接受日期:2002-12-30

摘要

目的:动态检测 一氧化氮(nitric oxide, NO)在急性肝损伤中血清浓度变化,探讨 NO 在急性肝损伤中的作用。

方法:以刀豆蛋白(concanavalin-A, ConA)诱导小鼠急性肝损伤构建实验动物模型.用硝酸还原酶法动态检测了40只正常小鼠(对照组)及40只(实验组)小鼠2 h、4 h、8 h及24 h血清中NO的浓度水平.同时测定血中谷丙转氨酶(ALT)变化。

结果:实验组2 h时点NO浓度显著低于对照组且与ALT呈高度负相关($P < 0.05$).实验组4 h时点NO浓度显著高于对照组且与ALT呈高度正相关($P < 0.01$).

结论:NO对肝脏有双重作用,即既有保护作用又有损害作用。

陈会松,柳利明,黄华,杨晋辉. 小鼠实验性肝损伤中 NO 的动态检测及意义. 世界华人消化杂志 2003;11(6):838-840

<http://www.wjgnet.com/1009-3079/11/838.asp>

0 引言

一氧化氮(NO)在肝损伤中的作用,国内外已有大量的相关文献报道,但是不同的研究有不同的结果^[1-4],且NO在肝损伤中的作用机制至今尚未完全阐明,说明NO与肝损伤的关系也有必要进一步研究.本实验以刀豆蛋白A(ConA)诱发小鼠急性肝损伤模型,动态检测NO在血清中的变化,观察其与ALT之间的关系,以探讨其在肝损伤中的作用。

1 材料和方法

1.1 材料 ♂昆明种小鼠,体重24-26 g,6-8 wk,(由昆明医学院动物饲养中心提供),ConA(美国Sigma公司产品),NO试剂盒(由南京建成生物工程研究所提供)。

1.2 方法 将80只实验小鼠随机分为2组,每组40只,对照组小鼠尾静脉注射生理盐水0.3 mL/只,实验组小鼠尾静脉注射ConA(20 mg/kg,以等体积的生理盐水溶解),所有小鼠自由进食水.各组小鼠均分别于2 h、4 h、8 h及24 h眼球取血并立即分离血清分装于抗凝管中,于4℃保存待测.后立即处死小鼠,取肝右中叶用100 mL/L甲醛溶液固定,常规脱水,石蜡包埋切片,HE染色后,行光镜观察肝组织病理变化.应用化学比色硝酸还原酶法检测NO,按说明书进行操作.采用生化自动分析仪测定ALT。

统计学处理 采用SPSS10.0统计软件包. 实验数据用 $\bar{x} \pm s$ 表示. 两组间比较用 t 检验, 相关性用直线相关分析(bivariate 过程), $P < 0.05$ 认为差异有显著性.

2 结果

2.1 成功诱导急性肝损伤模型 用 ConA 成功诱导昆明小鼠急性肝损伤: 实验组小鼠应用 ConA 4 h 后, 活动明显减少, 精神萎靡, 对外界声光刺激不灵敏, 悬吊觅食不能, 尿黄, 个别小鼠毛发直立, 24 h 内无死亡.

2.2 肝组织病理检查结果 对照组大体观见肝脏颜色鲜红, 表面呈细沙粒状, 质地柔软、光滑. 光镜下见肝小叶结构正常, 肝细胞索排列规律、整齐, 肝窦无增宽, 汇管区及中央静脉无异常. ConA 实验组 8 h 组肝细胞损伤程度最重, 后逐渐减轻. 大体观肝脏稍肿胀, 颜色暗红, 表面细沙粒状较明显, 组织脆, 钳夹易出血, 镜下见肝细胞索破坏, 肝窦稍增宽, 内有大量瘀血, 肝细胞弥漫性浊肿, 核固缩、溶解甚至消失, 点、灶状及片状坏死多见. 汇管区及中央静脉、肝窦内可见大量中性粒细胞和淋巴细胞浸润.

2.3 血清 NO 动态检测 表 1.

表 1 血清 NO 值动态检测结果($\mu\text{mol/L}$)

组别	n	NO 不同时点值			
		2 h	4 h	8 h	24 h
对照组	40	55.50 \pm 9.06	57.04 \pm 8.18	56.90 \pm 7.07	57.20 \pm 5.50
实验组	40	42.05 \pm 3.56 ^a	91.10 \pm 18.78 ^{ab}	70.56 \pm 8.95	53.60 \pm 10.12

^a $P < 0.05$, ^b $P < 0.01$ vs 对照组.

2.4 血清 ALT 动态检测 表 2.

表 2 血清 ALT 值动态检测结果(U/L)

组别	n	ALT 不同时点值			
		2 h	4 h	8 h	24 h
对照组	40	45.00 \pm 8.00	46.01 \pm 7.10	44.50 \pm 6.50	47.00 \pm 8.00
实验组	40	92.02 \pm 14.90	353.68 \pm 43.20	868.66 \pm 82.341	35.56 \pm 22.88

$P < 0.01$ vs 对照组.

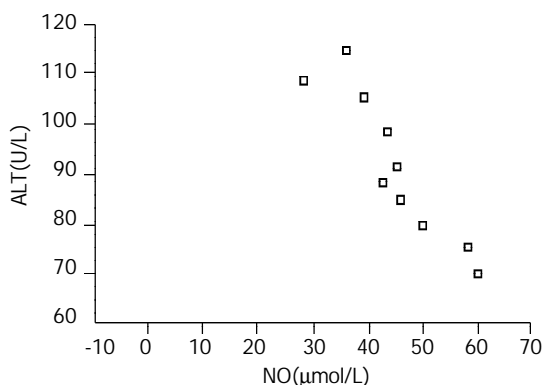


图 1 2 h 组血清 NO 与肝损伤程度相关性分析.

2.5 实验组 2 h NO 时值与肝损伤关系, 经 Bivariate 分析结果显示 NO 水平与 ALT 呈显著负相关($r = -0.769$, $P < 0.05$), 即在肝损伤 2 h 内, NO 越低, 肝损伤程度越重(图 1).

2.6 实验组 4 h 血清 NO 值与肝损伤相关程度经 Bivariate 过程分析, NO 水平与肝损伤程度呈显著正相关($r = 0.860$, $P < 0.01$). 即 NO 值越高, 肝损伤程度越重(图 2)

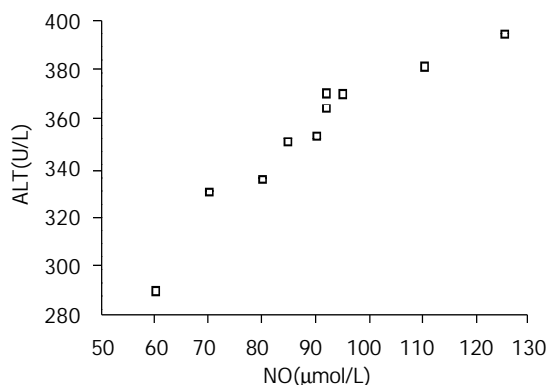


图 2 4 h 血清 NO 与肝损伤程度相关性分析.

3 讨论

ConA 是一种应用广泛的促有丝分裂原物质, 实验证明他在体内可诱导小鼠 T 淋巴细胞依赖性肝损伤, 因其致肝损伤的病理机制与人类自身免疫性肝病、病毒性肝炎尤其是急性肝炎的病理机制极为相似, 故这一模型的建立和应用可以为我们深入研究各型肝病肝细胞损害的细胞学与分子学机制提供重要的理论依据^[5].

NO 是体内嗜脂性和有高反应性的气体传递及调节递质, 由 NOS(一氧化氮合酶)催化 L-精氨酸生成, 属于典型的自由基. 其主要具有信息传导功能和细胞毒性因子功能. 信使功能主要参与神经系统的信息传递及使血管扩张, 由结构型 NO 合成酶合成(cNOS). 细胞毒性因子功能对细菌、真菌和肿瘤细胞产生杀伤作用, 同时也对正常组织产生损伤, 由诱导型 NO 合成酶(iNOS)合成.

国外学者 Sergent et al^[6] 和 Fiorucci et al^[7] 研究表明, NO 在肝损伤过程中可对肝脏起保护作用. 但国内外大多数研究表明, 当 NO 在肝脏中的浓度远远高于其生理浓度时, 则其可通过以下几种机制造成肝细胞损害、坏死. (1)通过抑制线粒体呼吸使肝细胞因能量缺乏或产生大量的自由基而死亡. (2)通过抑制肝细胞蛋白质的合成从而使肝细胞发生坏死或凋亡. (3)通过使肝细胞的 DNA 断裂或突变使肝细胞发生凋亡. (4)通过引起组织细胞脂质过氧化和细胞毒性损伤肝细胞. (5)通过间接改变细胞内的 cAMP 含量对肝细胞的正常代谢产生影响使肝细胞受损. (6)通过使肝细胞对 TNF- α 的敏感性提高而加重肝损伤. 在本实验中我们对对照组及实验组不同时点及肝匀浆中 NO 的时值均进行了检测. 经对实验结果分析, 我们发现 NO 浓度水平变化分两个阶段, 第一阶段是 2 h 实验组, NO 水平同对照组比较不但没有增高反而显著降低, 而 ALT(肝损伤程度)却显著增高, 同时 NO 与肝损伤呈负相关, 提示在肝损伤早期, NO 对肝细胞起保护作用. NO

浓度下降原因推测在于其通过“自我牺牲”或“保护耗竭”方式,使肝细胞对损伤的应答产生有益的调节,从而发挥其对肝脏的保护作用.第二阶段是在2 h后至24 h内,NO水平同对照组相比则明显增高,同时肝损害程度加重,NO与ALT呈显著正相关.提示随着大量的NO产生,其对肝脏的作用由保护转向损害.说明高浓度的NO对肝脏有损伤作用.通过本实验,我们证实了在急性肝损伤中NO对肝脏的双重作用.

总之,在ConA诱导的急性肝损伤中,NO是一个重要的细胞因子,在肝损伤不同阶段其作用不同.他既可对肝脏起破坏作用又对肝脏起保护作用,为临床进一步研究NO在急性肝炎的发病机制及病理生理变化以及合理应用NO拮抗剂提供理论基础.他在肝损伤中更深层次的作用机制,有待我们进一步研究.

4 参考文献

1 Muriel P. Nitric oxide protection of rat liver from lipid

- peroxidation, collagen accumulation and liver damage induced by carbon tetrachloride. *Biochem pharmacol* 1998;56:773-779
- 2 Morikawa A, Kato Y, Sugiyama T, Koide N, Chakravorty D, Yos T, Yokochi T. Role of nitric oxide in lipopolysaccharide-induced hepatic injury in D-galactosamine-sensitized mice as an experimental endotoxic shock model. *Infect Immun* 1999;67:1018-1024
- 3 Sass G, Koerber K, Bang R, Guehring H, Tiegs G. Inducible nitric oxide synthase is critical for immune-mediated liver injury in mice. *J Clin Invest* 2001;107:439-447
- 4 习玲,滕书玲. 大鼠急性肝损伤中NO的变化及肝组织坏死面积的图像分析. *山西医科大学学报* 2001;32:396-397
- 5 Fiorucci S, Mencarelli A, Palazzetti B, Del Soldato P, Morel Ignarro LJ. An NO derivative of ursodeoxycholic acid protects against Fas-mediated liver injury by inhibiting caspase activity. *Proc Natl Acad Sci USA* 2001;98:2652-2657
- 6 Sergeant O, Griffon B, Morel I, Chevanne M, Dubos MP, Cillard P, Cillard J. Effect of nitric oxide on iron-mediated oxidative stress in primary rat hepatocyte culture. *Hepatology* 1997;25:122-127
- 7 Fiorucci S, Santucci L, Antonelli E, Distrutti E, Del Sero G, Morelli O, Romani L, Federici B, Del Soldato P, Morelli A. NO-aspirin protects from T cell-mediated liver injury by inhibiting caspase-dependent processing of Th1-like cytokine. *Gastroenterology* 2000;118:404-421

ISSN 1009-3079 CN 14-1260/R 2003 年版权归世界胃肠病学杂志社

• 病例报告 •

以肠梗阻为首表现的原发性小肠肿瘤 4 例

赵永玲,魏芳

赵永玲,魏芳,开封市第二人民医院 河南省开封市 475002
项目负责人:赵永玲,475002,河南省开封市第二人民医院.
电话:0378-2651531
收稿日期:2002-11-12 接受日期:2002-12-16

摘要

目的:探讨原发性小肠肿瘤的特殊表现形式-肠梗阻,预防误诊.

方法:自1998年以来,我院收治肠梗阻30例,其中确诊小肠肿瘤4例,主要表现为反复腹胀、腹痛、恶心、呕吐.本文作者回顾性分析,以提高对本病的认识.

结果:原发性小肠肿瘤临床上可表现为腹痛、腹块、消化道出血及肠梗阻,多以小肠出血为首发症状,此4例首先表现为不完全肠梗阻.

结论:肠梗阻反复发作未能明确病因时,应考虑到小肠肿瘤.

赵永玲,魏芳. 以肠梗阻为首表现的原发性小肠肿瘤 4 例. 世界华人消化杂志 2003;11(6):840
<http://www.wjgnet.com/1009-3079/11/840.asp>

1 病例报告

例1 女,49岁,农民.反复腹胀、恶心、呕吐2 mo,加重20 d.胃镜显示:返流性胃炎.腹平片:肠管胀气.钡餐透示:钡剂通过十二指肠悬韧带较缓慢,且距十二指肠悬韧带约20 cm处不再下行.后经外科手术探查并切除肿块,病理证实为空肠低分化腺癌.

例2 女,40岁,教师.反复腹胀、恶心4 a,腹痛、右下腹块2 mo. B超检查发现右下腹部有一约3.5 × 3.0 cm大小包块.外科手术探查并切除肿块,病理证实为回肠平滑肌瘤.

例3 男,35岁,工人.反复腹胀、腹痛、恶心1 a,加重1 mo.先后3次住院治疗,曾行胃镜、B超、纤维结肠镜,全消化道X线钡餐检查均无明显异常发现.再次钡透示:十二指肠

剂逆流,下行困难.后经剖腹探查病理证实为空肠中分化腺癌.

例4 男,32岁,工人.反复上腹胀满6 a,加重伴腹痛、腹块1 mo.多次胃镜、B超检查无异常.1 mo前再次B超发现腹部包块4.5 × 3.0 cm,纤维结肠镜检查无异常,最后手术切除,病理证实为回肠平滑肌肉瘤.

2 讨论

原发性小肠肿瘤占胃肠道肿瘤的36%,临床上可表现为腹痛、腹块、消化道出血及肠梗阻,多以小肠出血为首发症状.此4例首先表现为不完全肠梗阻,鉴于小肠细长,检查不易,诊断困难,医师对本病的认识不够等影响早期诊断.

本组误诊原因:(1)小肠肿瘤症状开始无特异性,确诊前均开始误诊为胃炎,后表现为不完全肠梗阻.(2)缺乏简单有效的检查手段.常规的全消化道钡餐检查对小肠疾病诊断的阳性率仅为5%.本组3例均行此项检查,由于检查技术和设备条件的因素,国内目前仅有少数医院开展小肠镜检查,选择性腹腔动脉造影对小肠病变引起的出血兼有定位和定性诊断价值,但不能诊断病因,必须一定的设备,B超检查由于肠腔气体干扰而影响观察.(3)医生对小肠肿瘤认识不足,因小肠肿瘤与胃炎、胃或十二指肠溃疡并存,内镜检查因发现以上良性病变未再深入检查,并因长期呕吐合并电解质紊乱而误诊.(4)缺乏胃镜、B超及X线钡透重复检查,症状消失后拒绝进一步检查.(5)小肠平滑肌瘤为良性肿瘤,生长缓慢,早期不易发现,并可向肠腔外膨胀式生长,少数可恶变(平滑肌肉瘤),也是我们对小肠肿瘤易漏诊?误诊的原因之一.

总之,我们认为:肠梗阻反复发作未能明确病因时,应考虑到小肠肿瘤,在胃镜十二指肠镜和结肠镜检查排除食管胃十二指肠及结肠占位后,酌情进行小肠镜、小肠气钡造影,术中内镜检查及剖腹探查.



Published by **Baishideng Publishing Group Inc**
7901 Stoneridge Drive, Suite 501, Pleasanton,
CA 94588, USA
Fax: +1-925-223-8242
Telephone: +1-925-223-8243
E-mail: bpgoffice@wjgnet.com
<http://www.wjgnet.com>



ISSN 1009-3079

